

Санкт–Петербургский государственный университет

БУХАЛОВ Максим Владимирович

Выпускная квалификационная работа

***Методы рендеринга сцены на основе алгоритма
трассировки лучей***

Уровень образования: бакалавриат

Направление 01.03.02 «Прикладная математика и информатика»

Основная образовательная программа СВ.5005.2016 «Прикладная математика, фундаментальная информатика и программирование»

Профиль «Информационные системы»

Научный руководитель:

доцент, кафедра технологии программирования,

к.т.н. Блеканов Иван Станиславович

Рецензент:

доцент, кафедра компьютерных технологий
и систем, к.ф. - м.н. Коровкин Максим Васильевич

Санкт-Петербург

2020 г.

Содержание

Введение	3
Глава 1. Обзор литературы	5
1.1. Обзор существующий методов	5
1.2. Обзор программных инструментов для работы с реалистичной компьютерной графикой	5
Глава 2. Теоретические аспекты работы с графическими объектами	6
2.1. Примитивные объекты	6
2.1.1 Сфера	7
2.1.2 Плоскость	7
2.1.3 Треугольник	8
2.1.4 Четырехугольник	10
2.2. Структура сцены	11
2.3. Материалы	13
2.3.1 Диффузный материал	13
2.3.2 Металлический материал	14
2.3.3 Прозрачный материал	15
2.4. Текстуры	17
2.4.1 Константная текстура	17
2.4.2 Шахматная текстура	18
2.4.3 Текстура изображения	19
2.5. Освещение	20
Глава 3. Построение алгоритма	21
3.1. Описание алгоритма	21
3.2. Стек технологий	23
3.3. Тестирование и результаты работы	24
Заключение	25
Список литературы	27

Введение

Актуальность

С развитием киноиндустрии, игровой индустрии и дизайна все больше растет потребность в реалистичной компьютерной графике. Долгое время вычислительные способности компьютеров позволяли использовать только метод растеризации треугольников [18, 15], что сказывалось на реалистичности получаемого результата, так как этот метод - очень грубая аппроксимация того, как свет на самом деле устроен. Однако компьютерная мощь растет с каждым годом, что позволяет использовать другие методы [16, 17], которые раньше использовать не представлялось возможным, ввиду вычислительной трудозатратности. Один из таких методов - метод трассировки лучей.

Метод трассировки лучей представляет собой метод генерации изображения путем отслеживания, или трассировки, пути света и моделирования эффектов его столкновения с объектами [20]. Он известен своей гибкостью, как правило, более достижимым реализмом и масштабируемостью, однако, как правило, достаточно трудозатратен [19].

В данной работе поставлена задача реализовать метод трассировки лучей, не акцентируя внимание на оптимизации данного метода, хотя некоторые вопросы оптимизации все же будут затронуты.

Цель работы

Целью данной работы является изучение и реализация метода трассировки лучей.

Задачи работы

Для достижения этой цели в рамках работы были поставлены следующие задачи:

- Определить и реализовать набор примитивных объектов, доступных для конструирования сцены.

- Определить и реализовать набор свойств поверхности примитивных объектов таких как:
 - Рассеивание лучей и затухание света
 - Текстуры
 - Свойство излучать свет
- Получить изображение, сгенерированное данным методом

Практическая значимость

Одна из самых крупных потребителей реалистичной графики - индустрия развлечений, а именно игровая индустрия и киноиндустрия.

Реалистичность спецэффектов в кино помогают людям создавать такие кадры, какие раньше не представлялось возможным. Также графика в разы удешевила съемочный процесс, что сделало кино более доступным для производства.

В игровой индустрии графика все ближе приближается к реалистичной, что позволяет делать их более правдоподобными, стирая барьер между игроком и игрой.

Если отойти от индустрии развлечений, то реалистичная графика пользуется спросом у дизайна. От дизайна интерьера квартиры, до дизайнов крупных продуктов и целых зданий. Возможность посмотреть будущий интерьер еще не отремонтированной квартиры, посмотреть еще на не выпущенную марку автомобиля или устроить экскурсию по какому-либо еще недостроенному объекту позволяет многим людям экономить время и деньги.

Глава 1. Обзор литературы

1.1 Обзор существующий методов

Метод бросания лучей (ray casting) - один из первых методов данного типа. Впервые данный термин был использован в 1982 году Скоттом Роттом [1]. Данный метод испускает только первичные лучи, что делает его нерекурсивным. Впервые в массовой индустрии данный алгоритм был применен Джоном Кармаком в игре Wolfenstein 3D [2]. Данный метод был достаточно прорывным для своего времени.

Метод трассировки лучей (ray tracing) [3] же является рекурсивным алгоритмом, что делает его более затратным в вычислительном плане алгоритмом. Однако, благодаря тому, что данный метод испускает не только первичные лучи, но и вторичные, делает данный метод заметно более реалистичным и позволяет реализовать многие эффекты, которые недоступны методу бросания лучей, таких как отражения, преломления, мягкие тени и другие. Однако в данном методе присутствуют некоторые допущения, что делает данный метод менее реалистичным, чем его усовершенствованная версия.

Более усовершенствованный метод называется методом трассировки пути (path tracing) [5]. Данный метод основывается на так называемом уравнении рендеринга, предложенном в статье Джеймса Кадж WF-SP800Nии в 1982 году [4], и его решению методом Монте-Карло. Данный алгоритм является методом без допущений (unbiased method) [6], что делает его самым реалистичным методом из трех.

1.2 Обзор программных инструментов для работы с реалистичной компьютерной графикой

На данный момент одни из самых популярных инструментов для работы с реалистичной компьютерной графикой:

1. *Octane*[21]. Пользуется большим спросом в киноиндустрии для создания графики. Достаточно хорошо оптимизирован и имеет удобный интерфейс взаимодействия, однако является проприетарным, что очень

ограничивает его использование непрофессионалам.

2. *Mitsuba*[22]. Данный инструмент больше ориентирован на исследователей. Имеет открытый исходный код, хорошо оптимизирован. Не совсем подходит для профессионального производства реалистичной графики. Инструмент достаточно сложен для освоения.
3. *Cycles*[23]. Данный инструмент разрабатывается *Blender Foundation*[24]. Данный инструмент имеет открытый исходный код. Также он встроен в *Blender* - инструмент для 3D моделирования и анимации, также инструмент с открытым исходным кодом, что делает его очень доступным для освоения. Однако данный инструмент достаточно молодой, поэтому он имеет не такой широкий функционал и еще не так хорошо оптимизирован.

Глава 2. Теоретические аспекты работы с графическими объектами

2.1 Примитивные объекты

Для определения примитивного объекта мы должны определить метод пересечения данного объекта с лучом. Имея луч и объект мы хотим уметь получать следующую информацию:

- Пересекает ли данный луч объект или нет
- Точку пересечения
- Нормаль в точке пересечения

Данной информации будет достаточно, чтобы повторно запустить луч из точки пересечения, тем самым имитируя поведение лучей света [12]. Луч будем определять с помощью двух векторов: $R(t) = O + t \cdot D$, где O - вектор начало луча, D - вектор направления луча, t - скаляр, который считаем неотрицательным.

2.1.1 Сфера

Сфера задается уравнением $S(x) = (x - C, x - C) = r^2$, где C - центр сферы, r - радиус, x - точка, принадлежащая сфере. Пересечение с лучом считается следующим образом:

$$\begin{aligned} S(R(t)) &= (R(t) - C, R(t) - C) = r^2; \\ (O + t \cdot D - C, O + t \cdot D - C) &= r^2; \\ (D, D)t^2 + 2(D, CO)t + (CO, CO) - r^2 &= 0, \text{ где } CO = O - C; \\ t^*_1 &= -(D, OC) - \sqrt{(D, CO)^2 - (CO, CO) + r^2}; \\ t^*_2 &= -(D, OC) + \sqrt{(D, CO)^2 - (CO, CO) + r^2}, \end{aligned}$$

учитывая, что D нормализован.

Если $discr = (D, OC)^2 - (OC, OC) + r^2 \geq 0$ и хотя бы один из t_1 или t_2 неотрицателен, значит, пересечение есть, выбираем наименьший из неотрицательных t , обозначим его за t^* , тогда точка пересечения равна $R(t^*) = O + t^* \cdot D$. Нормаль же тогда равна $N = R(t^*) - C = O + t^* \cdot D - C$.

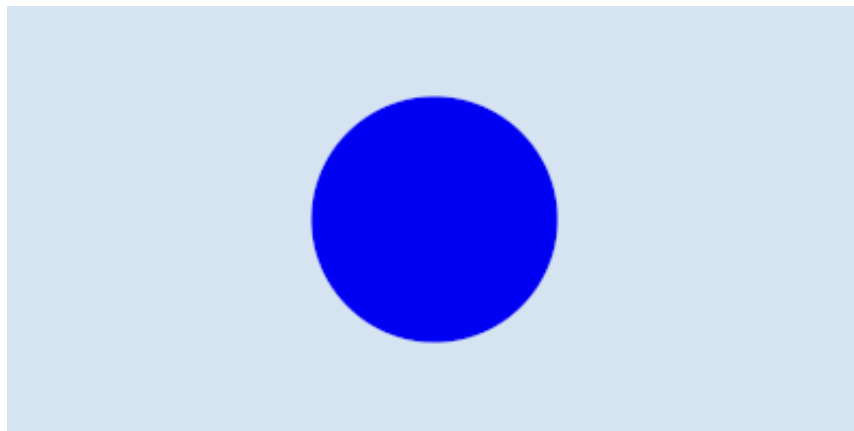


Рис. 1: Рендер сферы.

2.1.2 Плоскость

Плоскость задается уравнением $P(x) = (p - p_0, N) = 0$, где p_0 - точка, принадлежащая прямой, N - нормаль плоскости. Тогда пересечение луча

$R(t) = O + t \cdot D$ находится следующим образом:

$$\begin{aligned}P(R(t)) &= (R(t) - p_0, N) = 0; \\(O + t \cdot D - p_0, N) &= 0; \\t &= \frac{(p_0 - O, N)}{(D, N)}.\end{aligned}$$

Если $(D, N) \neq 0$ и $t^* \geq 0$, то считаем, что пересечение есть. Нормаль в точке пересечения равна нормали плоскости.



Рис. 2: Рендер плоскости.

2.1.3 Треугольник

Треугольник определяется тремя точками A, B, C . Искать пересечение с лучом $R(t) = O + t \cdot D$ будем методом Моллера — Трумбора [3]. Данный метод примечателен тем, что он не требует предварительного вычисления уравнения плоскости, содержащей треугольник. Вычисление пересечения выглядит следующим образом. Рассмотрим барицентрические координаты точки внутри треугольника $P = w \cdot A + u \cdot B + v \cdot C$. Учитывая, что $u + v + w = 1$, выразим $w = 1 - u - v$. Подставляя в выражение точки P получаем:

$$\begin{aligned}P &= (1 - u - v) \cdot A + u \cdot B + v \cdot C; \\P &= A + u \cdot AB + v \cdot AC, \text{ где } AB = B - A, AC = C - A;\end{aligned}$$

Подставляя $R(t) = O + t \cdot D$ в уравнение выше получаем:

$$O + t \cdot D = A + u \cdot AB + v \cdot AC;$$

$$AO = -t \cdot D + u \cdot AB + v \cdot AC, \text{ где } AO = O - A;$$

$$\begin{bmatrix} -D & AB & AC \end{bmatrix} \cdot \begin{bmatrix} t \\ u \\ v \end{bmatrix} = AO;$$

Используя метод Крамера, мы получаем:

$$\begin{bmatrix} t \\ u \\ v \end{bmatrix} = \frac{1}{\begin{vmatrix} -D & AB & AC \end{vmatrix}} \begin{bmatrix} \begin{vmatrix} AO & AB & AC \end{vmatrix} \\ \begin{vmatrix} -D & AO & AC \end{vmatrix} \\ \begin{vmatrix} -D & AB & AO \end{vmatrix} \end{bmatrix};$$

При этом, если $\begin{vmatrix} -D & AB & AC \end{vmatrix} = 0$, то это означает, что пересечения нет.

Учитывая, что $\begin{vmatrix} V_1 & V_2 & V_3 \end{vmatrix} = V_1 \cdot (V_2 \times V_3)$ и $AB \times AC = N$ - нормаль треугольника, получаем:

$$\begin{bmatrix} t \\ u \\ v \end{bmatrix} = \frac{1}{(D, N)} \begin{bmatrix} (AO, N) \\ -D \cdot (AO \times AC) \\ -D \cdot (AB \times AO) \end{bmatrix};$$

Обозначим найденное значение t за t^* , тогда треугольник и луч имеет пересечение в $R(t^*)$, если $t^* \geq 0, u + v \leq 1$ и $u \geq 0, v \geq 0$. Нормаль в точке пересечения равна $N = AB \times AC$

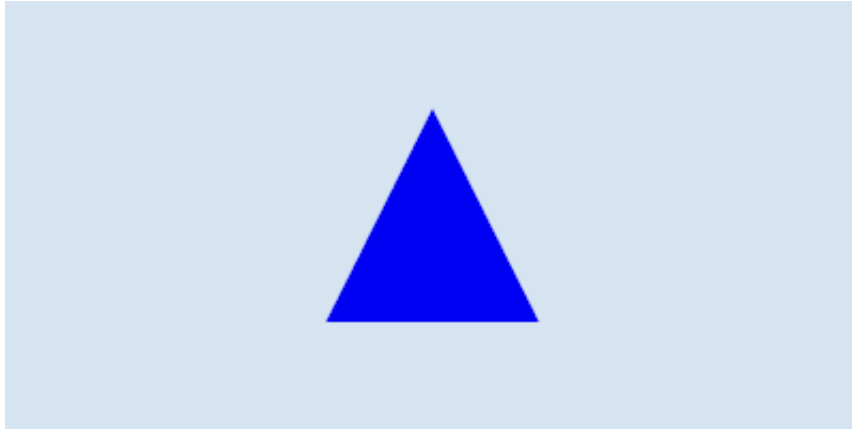


Рис. 3: Рендер треугольника.

2.1.4 Четырехугольник

Четырехугольник задается четырьмя точками A, B, C, D . Пересечение между лучом и четырехугольником будем находить, разбив четырехугольник на 2 треугольника с вершинами A, B, C и A, C, D . Если луч пересекает хотя бы один из треугольников, то пересечение имеет место быть. Нормаль можно найти с помощью любых трех вершин: $N = AB \times AC$, где $AB = B - A$, $AC = C - A$

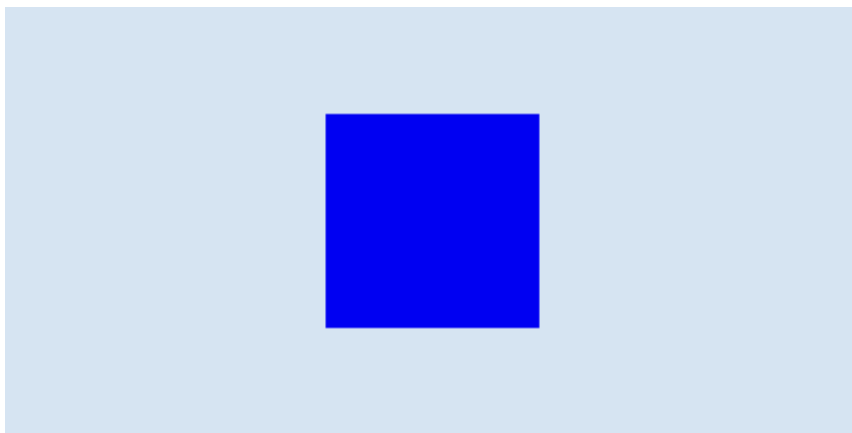


Рис. 4: Рендер четырехугольника.

2.2 Структура сцены

Самый наивный способ хранить объекты сцены - хранить их в массиве. Однако этот метод имеет множество недостатков, таких как:

- Время рендера сцены растет с количеством объектов, независимо от того, является ли данный объект видимым или нет.
- Каждый раз луч будет проверяться на пересечение со всеми объектами, даже если луч на самом деле не пересекает никакой из объектов.

Хранение объектов в иерархии ограничивающих объемов [9] решает данные проблемы. Это древовидная структура данных, в которой хранятся ограничивающие объемы, обычно это параллелепипеды, параллельные осям, так как проверять луч на пересечение с такими параллелепипедами достаточно просто. Данные параллелепипеды могут содержать в себе объекты или другие параллелепипеды.

Параллелепипед, параллельный осям, задается двумя точками B^{min} , B^{max} - вершина с минимальными координатами и максимальными соответственно. Проверка на пересечение с лучем $R(t) = O + t \cdot D$ выполняется следующим образом. Проверяется пересечение по каждой оси. Рассмотрим пример для осей x , y :

$$\begin{aligned}O_x + t \cdot D_x &= B_x^{min}; O_x + t \cdot D_x = B_x^{max}; \\O_y + t \cdot D_y &= B_y^{min}; O_y + t \cdot D_y = B_y^{max}; \\t_{1x} &= \frac{B_x^{min} - O_x}{D_x}; t_{2x} = \frac{B_x^{max} - O_x}{D_x}; \\t_{1y} &= \frac{B_y^{min} - O_y}{D_y}; t_{2y} = \frac{B_y^{max} - O_y}{D_y}; \\t_x^{min} &= \min\{t_{1x}, t_{2x}\}; t_x^{max} = \max\{t_{1x}, t_{2x}\}; \\t_y^{min} &= \min\{t_{1y}, t_{2y}\}; t_y^{max} = \max\{t_{1y}, t_{2y}\};\end{aligned}$$

Если пересекает, то $t_x^{min} \leq t_y^{max}$ и $t_y^{min} \leq t_x^{max}$, при условии, что $t_y^{max}, t_x^{max} \geq 0$. Добавим проверку по z и совместим их вместе, получаем:

$$\begin{aligned}t &= \frac{B^{min} - O}{D}; \\T &= \frac{B^{max} - O}{D}, \text{ здесь отношение векторов - поэлементное деление}; \\t^{max} &= \max\{t_x, t_y, t_z\}; \\T^{min} &= \min\{t_x, t_y, t_z\};\end{aligned}$$

Если $t^{max} > T^{min}$ или $T_{min} < 0$, то луч не пересекает параллелепипед.

Рассмотрим метод построения дерева. Метод выглядит следующим образом: пусть дана константа N^{max} - максимальное количество элементов в одном ограничивающем объеме (подбирается эмпирически) и массив объектов M^{obj} выполним:

1. Поместим каждый объект в свой ограничивающий объем.
2. Поместим данные объемы в общий, назовем его корнем.
3. Если количество объектов в текущем меньше N^{max} , прекращаем деление.
4. Иначе отсортируем объемы по расстоянию от начала координат до B^{max} , тем самым при разбиении на дочерние объемы мы уменьшим степень перекрытия объемов.
5. Первую половину объектов помещаем в один дочерний объем, вторую в другой.
6. Повторяем шаги 3, 4, 5 для дочерних объемов.

2.3 Материалы

Материал поверхности определяет то, как луч отражается от поверхности в данной точке и то, как меняется цвет луча при отражении [12]. Обычно изменение цвета луча при отражении задается таким параметром как альбедо. Это может быть как и константный цвет, что означает, что поверхность отражает определенно заданный спектр цвета и поглощает все другие, либо это может быть текстура, которая задает такой параметр в конкретной точке поверхности. Подробнее о текстурах будет изложено далее. Способ отражения луча от поверхности, наоборот, сильно зависит от материала, и в основном является определяющим фактором.

Рассмотрим три типа материалов:

1. Диффузный материал
2. Металлический материал
3. Прозрачный материал

2.3.1 Диффузный материал

Диффузный материал имитирует шероховатые поверхности, в которых из-за неровностей лучи отражаются в разных направлениях. Направление отраженного луча выбирается случайно в единичной сфере с центром в N , где N - нормаль в данной точке. Отраженный луч $R'(t) = O' + t \cdot D'$ находится следующим образом :

$$x = Rand(0, 2\pi);$$

$$z = Rand(-1, 1);$$

$$r = \sqrt{1 - z^2};$$

$$D' = N + \{r \cos(x), r \sin(x), z\};$$

$$O' = H;$$

$Rand(x, y)$ - функция получения случайных чисел из равномерного распределения.

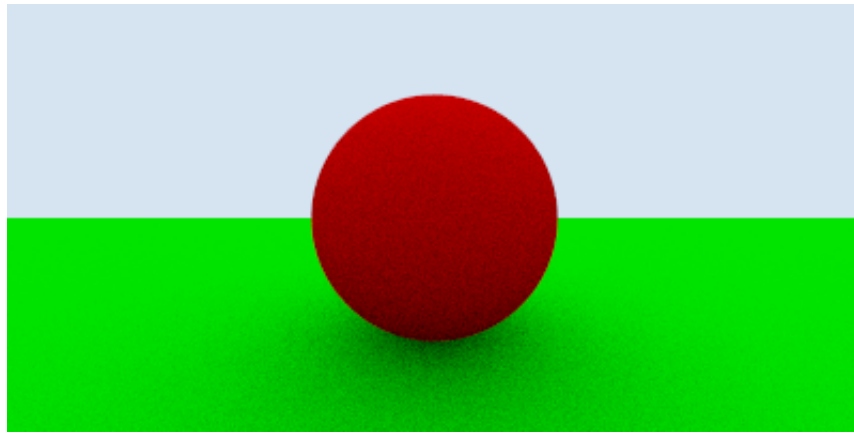


Рис. 5: Пример диффузного материала.

2.3.2 Металлический материал

Металлический материал имитирует гладкие поверхности, то есть отраженный луч находится в одной плоскости с падающим лучом и нормалью и угол между отраженным лучом и нормалью равен углу между падающим лучом и нормалью. Отраженный луч $R'(t) = O' + t \cdot D'$ находится следующим образом :

$$D' = D - 2(D, N) \cdot N;$$
$$O' = H;$$

Мы можем добавить шероховатости материалу, добавив к D' случайный вектор из единичной сферы P_{rand} умноженный на некоторый коэффициент, определяющий степень шероховатости C_{rough} . Тогда гладкий материал будет иметь $C_{rough} = 0$. В общем случае D' будет иметь вид:

$$D' = (D - 2(D, N) \cdot N) + C_{rough} \cdot P_{rand};$$

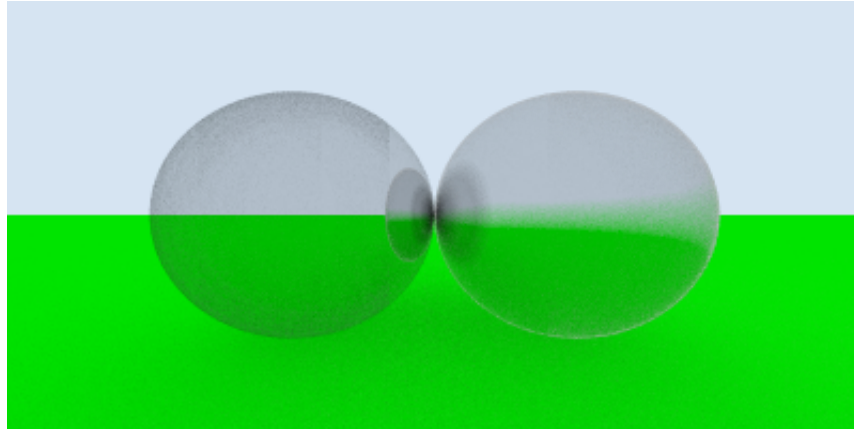


Рис. 6: Пример металлического материала.

2.3.3 Прозрачный материал

В прозрачном материале лучи могут как и отражаться, так и преломляться. Преломление лучей описывается законом Снелла [10]. Выглядит он следующим образом: $n_1 \sin \phi_1 = n_2 \sin \phi_2$, где n_1 - показатель преломления среды, из которой свет падает на границу раздела, n_2 - показатель преломления среды, в которую свет попадает, пройдя границу раздела, ϕ_1 - угол падения света — угол между падающим на поверхность лучом и нормалью к поверхности, ϕ_2 - угол преломления света — угол между прошедшим через поверхность лучом и нормалью к поверхности. Преломленный луч $R_{refract}(t)$ находится следующим образом:

$$\begin{aligned} k &= 1.0 - \left(\frac{n_1}{n_2}\right)^2(1.0 - (N, D)^2); \\ D' &= \frac{n_1}{n_2} \cdot D - \left(\frac{n_1}{n_2}(N, I) + \sqrt{k}\right) \cdot N; \\ O' &= H; \end{aligned}$$

В случае, когда $\frac{n_1}{n_2} \sin \phi_1 \geq 1$ или $k < 0$ имеет место только отражение, преломления не происходит. Для определения отражения или преломления будем использовать приближения Шлика для уравнения Френеля [11]. Аппроксимация выглядит следующим образом: $F = n + (1 - n)(1 - (N, -D))^5$, $n = \frac{n_1}{n_2}$. На практике это будет означать, что отражение или преломление луча будет выбираться случайным образом с поправкой на коэффициент, полученный из аппроксимации Шлика. Имея $n_2, n_1 = 1$ и $R(t) = O + t \cdot D$, получение нового

луча $R'(t)$ выглядит следующим образом:

Если $(n, D) < 0 \implies n = \frac{1}{n_2}$, иначе $n = n_2$;

$F = \frac{n_1}{n_2} + (1 - \frac{n_2}{n_1})(1 - (N, -D))^5$;

Если $Rand(0, 1) < F \implies R'(t) = R_{refract}(t)$, иначе $R'(t) = R_{reflect}(t)$;

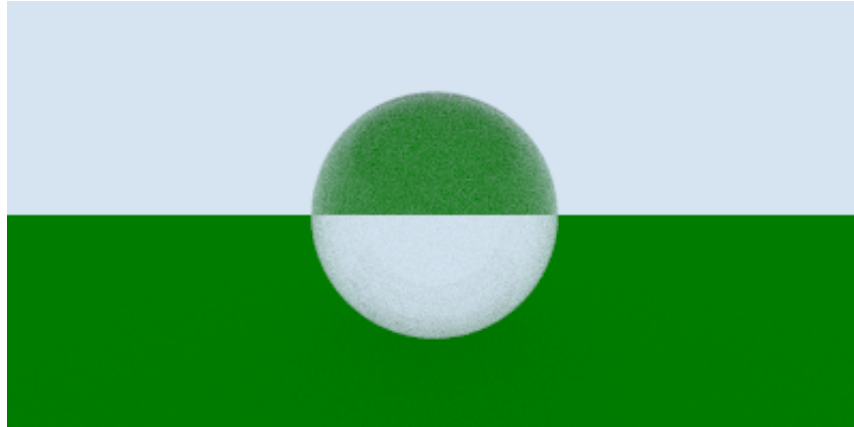


Рис. 7: Пример прозрачного материала.

2.4 Текстуры

Текстуры в компьютерной графике обычно означают функцию, которая определяет цвет точки поверхности [13]. Это может быть процедурная генерация, так и сэмплирование изображения. Текстуры - один из способов задания альбедо в материале, они позволяют задавать в каждой точке свой параметр альбедо, что является очень удобным в некоторых ситуациях. Точка поверхности задается так называемыми текстурными координатами (u, v) , где $0 \leq u, v \leq 1$. Для получения значения цвета из текстуры, нужно для каждой точки поверхности однозначно определить текстурные координаты. Рассмотрим способ задания текстурных координат для прямоугольника и сферы.

Определение текстурных координат для прямоугольника достаточно просто. Имея четыре вершины A, B, C, D и считая, что вершины указаны в порядке обхода против часовой стрелки начиная с вершины с наименьшими координатами, для точки P имеем:

$$u = \left| \frac{DP_x}{AB_x} \right|;$$
$$v = \left| \frac{DP_y}{AD_y} \right|;$$

Для получения текстурных координат сферы рассмотрим сферические координаты. Для каждой точки можно единственным образом задать широту и долготу (θ, ϕ) , где ϕ - угол между осью x и проекцией отрезка, соединяющего начало координат с точкой P , на плоскость xy , θ - угол между радиус-вектором точки P и плоскостью xy . При этом $\phi = \arctan \frac{y}{x}$, $\theta = \arcsin z$, $-\pi \leq \phi \leq \pi$, $-\frac{\pi}{2} \leq \theta \leq \frac{\pi}{2}$. В итоге текстурная координата точки P будет равна:

$$u = 1 - \frac{\phi + \pi}{2\pi}; v = \frac{2\theta + \pi}{2\pi};$$

2.4.1 Константная текстура

Константная текстура - самая простая текстура. Она задает одинаковый цвет для любой точки поверхности. Для данной текстуры не нужны текстурные координаты, что делает ее очень универсальной, однако вариативность использования ее довольно скудная.

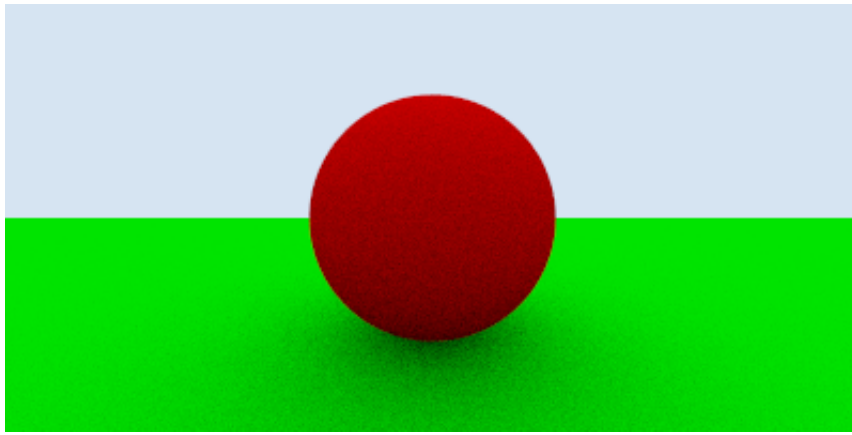


Рис. 8: Пример константной текстуры.

2.4.2 Шахматная текстура

Шахматная текстура - текстура состоящая из двух других текстур, сочетающих их в шахматном порядке. Пусть цвет одной текстуры вычисленный в координатах (u, v) равен Col_{even} , цвет другой, вычисленный в тех же координатах - Col_{odd} . Тогда цвет шахматной текстуры $Col_{checker}$, вычисленный в (u, v) , равен:

$$sign = \text{sgn}(\sin ku \sin kv);$$
$$Col_{checker} = Col_{even}, \text{ если } sign = 1, \text{ иначе } Col_{checker} = Col_{odd};$$

Где k - параметр, определяющий насколько мелкими будут клетки.

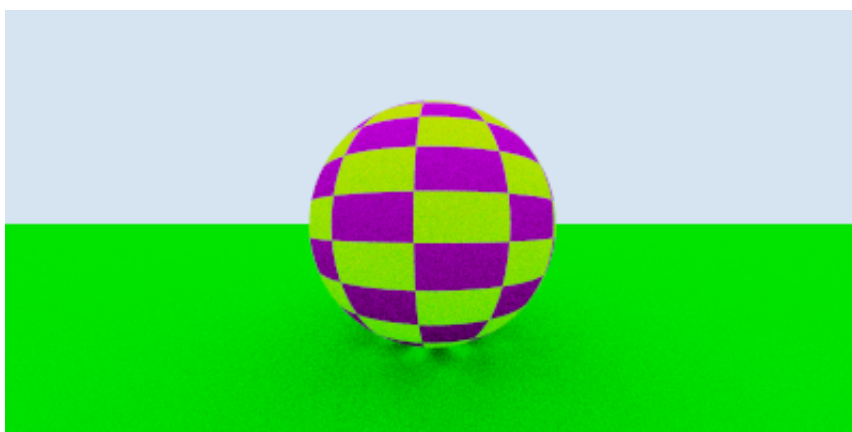


Рис. 9: Пример шахматной текстуры.

2.4.3 Текстура изображения

Для возможности использовать изображение в качестве текстуры, необходимо по текстурной координате определить координату пикселя. Пусть изображение имеет N_x на N_y пикселей. Тогда для пикселя с позицией (i, j) , $0 \leq i \leq N_x, 0 \leq j \leq N_y$ справедливо равенство:

$$u = \frac{i}{N_x - 1}; v = \frac{j}{N_y - 1};$$

Отсюда следует:

$$i = \lfloor u(N_x - 1) \rfloor; j = \lfloor (1 - v)(N_y - 1) \rfloor;$$

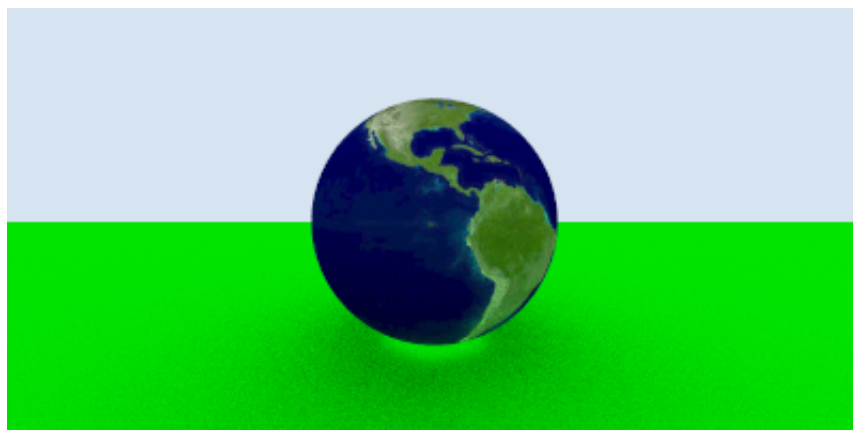


Рис. 10: Пример текстуры изображения.

2.5 Освещение

Освещение делится на две части - фоновое - освещение, которое уже присутствует в сцене, считается максимально рассеянным, то есть цвет постоянный для всей сцены, представляет из себя цвет пикселя, если луч, проходящий через него ничего не пересекает, и излучаемое - свет, излучаемый каким-либо объектом с материалом, способным излучать свет [13]. Описанные ранее типы материалов не излучали никакого света, рассмотрим другой тип материалов.

Рассмотрим материал диффузного света. Данный материал только излучает свет, не рассеивает лучи дальше. Данный материал очень простой в устройстве, все, что он имеет - это текстуру альбедо и интенсивность $I \geq 1$. Если луч пересекает объект с данным материалом, то луч окрашивается в цвет текстуры в данной точке, умноженный на интенсивность.

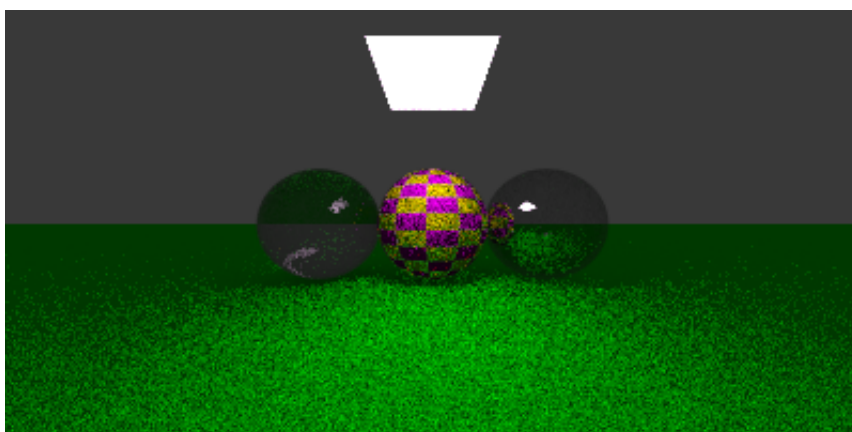


Рис. 11: Пример освещения.

Глава 3. Построение алгоритма

3.1 Описание алгоритма

Рассмотрим структуру алгоритма. Перед началом работы алгоритма должны быть инициализированы следующие параметры:

- H_{img}, W_{img} - высота и ширина итогового изображения в пикселях
- N_{spp} - количество лучей, пускаемых через каждый пиксель. Нужно для того, чтобы границы у итогового изображения были сглажены.
- N_{depth} - количество допустимых отражений луча. Необходимо для того, чтобы алгоритм остановился.
- $C_{ambient}$ - фоновый свет (цвет пикселя, при отсутствии пересечений луча и объектов)
- Cam - камера, у которой определены параметры, такие как:
 - O_{cam} - позиция
 - D_{cam} - направление
 - $U_{p_{cam}}$ - единичный вектор, который определяет направление вверх в пространстве камеры (для определения базиса пространства камеры)
 - FOV_{cam} - угол обзора
- $Scene$ - собранная сцена, у которой:
 - Указаны все объекты
 - У каждого объекта указан его материал
 - Построена иерархия ограничивающих объемов

Сам алгоритм состоит из двух функций - $Render$ и $CastRay$. $Render$ перебирает все пиксели и N_{spp} раз вызывает у пикселя функцию $CastRay$, которая пускает луч в заданном направлении и возвращает цвет. Функции выглядят

следующим образом:

Algorithm 1: CastRay

Input: $R(t)$, N_{depth} , $Scene$, $C_{ambient}$

Output: C_{out}

B_{res} , $Material$, P_{hit} , u , v , $N = Intersect(R(t), Scene)$;

if $B_{res} = True$ **then**

$C_{emit} = EmitMaterial(Material, u, v)$;

$C_{attenuate}$, $R'(t) =$

$ScatterMaterial(Material, R(t), u, v, P_{hit}, N)$;

return $C_{emit} +$

$+ C_{attenuate} \cdot CastRay(R'(t), N_{depth} - 1, Scene, C_{ambient})$;

else

return $C_{ambient}$;

end

Algorithm 2: Render

```
 $i = 0; j = 0;$   
while  $i < H_{img}$  do  
  while  $j < W_{img}$  do  
     $Col = \mathbf{Black};$   
     $n = 0;$   
    while  $n < N_{spp}$  do  
       $u = \frac{j + Rand(0,1)}{W_{img}};$   
       $v = \frac{i + Rand(0,1)}{H_{img}};$   
       $R(t) = GetRayFromCam(u, v);$   
       $Col = Col + ColorRay(ray, s_{Depth});$   
       $n = n + 1;$   
    end  
     $Col = \frac{Col}{N_{spp}};$   
     $Img(i, j) = Col;$   
     $j = j + 1;$   
  end  
   $i = i + 1;$   
end  
return  $Img;$ 
```

3.2 Стек технологий

Для реализации данного метода был выбран язык C++ стандарта 2017 года, ввиду его производительности. Для реализации математических вычислений была выбрана библиотека glm [7], так как она отличается своей легковесностью и оптимизацией, так как данная библиотека поддерживает SIMD.

3.3 Тестирование и результаты работы

В качестве тестовой сцены будем использовать Cornell box [14]. Данная сцена достаточно часто применяется для тестирования методов рендеринга.

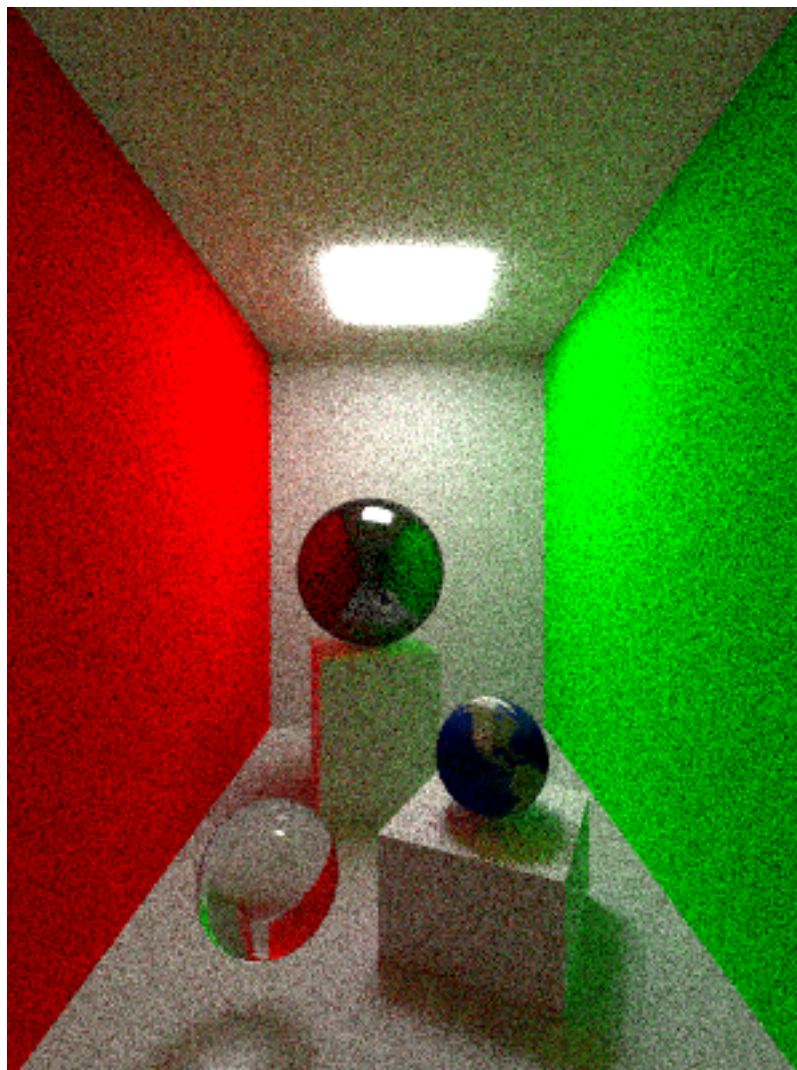


Рис. 12: Cornell box, сгенерированный данным методом

Заключение

Результаты работы

В ходе данной работы были получены следующие результаты:

- Определен и реализован набор примитивов, позволяющий собирать сцены для генерации изображений
- Определен и реализован набор свойств поверхности примитивов, таких как:
 - Материалы - отвечают за рассеивание лучей и затухание света
 - Текстуры
 - Специальный тип материала, способный излучать свет
- Получены изображения с помощью данного метода.
- Разработан и реализован алгоритм трассировки лучей. Исходный код доступен по ссылке: <https://github.com/Sphag/raytracer>

Перспективы развития

Есть три вектора, по которому можно развивать данный метод:

1. Оптимизация алгоритма. Использование как дополнительных потоков центрального процессора, так и использование графического. Рассмотреть возможность применения аппаратных ускорителей, как, например, ядра видеокарт семейства Nvidia RTX [25].
2. Работа в сторону улучшения самого алгоритма. Данная реализация делает достаточное количество допущений о том, как свет на самом деле устроен. Уже существуют модификации, которые моделируют поведение света намного точнее, что делает их результат намного ближе к реализму.

3. Удобство использования. В данной реализации метода достаточно трудно настроить сцену пользователю, который не знаком с данной реализацией. Нет просмотра результата в окне в реальном времени, нет интерактивного редактора сцен. Удобство использования экономит много времени, что имеет большую роль в некоторых областях.

Список литературы

- [1] Roth S. «Ray Casting for Modeling Solids». DOI: 10.1016/0146-664X(82)90169-1
- [2] Premadi F. «Ray-Casting Tutorial For Game Development And Other Purposes». <https://permadi.com/1996/05/ray-casting-tutorial-table-of-contents/>
- [3] Nikodym T. «Ray Tracing Algorithm For Interactive Applications». https://dip.felk.cvut.cz/browse/pdfcache/nikodtom_2010bach.pdf
- [4] Kajiya J. T. «The rendering equation». DOI: 10.1.1.63.1402
- [5] Lafortune E. «Mathematical Models and Monte Carlo Algorithms for Physically Based Rendering». <http://www.graphics.cornell.edu/~eric/thesis/index.html>
- [6] Farnsworth M. «Biased vs Unbiased Rendering». <http://renderspud.blogspot.com/2006/10/biased-vs-unbiased-rendering.html>
- [7] «OpenGL Mathematics (GLM)». <https://glm.g-truc.net>
- [8] Moller T., Trumbore B. «Fast, Minimum Storage Ray/Triangle Intersecton». http://fileadmin.cs.lth.se/cs/Personal/Tomas_Akenine-Moller/code/raytri_tam.pdf
- [9] Ericson C. «Real-Time Collision Detection». p. 238. ISBN 1-55860-732-3.
- [10] «Snell's law». https://en.wikipedia.org/wiki/Snell%27s_law
- [11] Schlick C. «An Inexpensive BRDF Model for Physically-based Rendering». <http://www.cs.virginia.edu/~jdl/bib/appearance/analytic%20models/schlick94b.pdf>
- [12] Shirley P. «Ray Tracing in One Weekend». <https://raytracing.github.io/books/RayTracingInOneWeekend.html>

- [13] Shirley P. «Ray Tracing the next week». <https://raytracing.github.io/books/RayTracingTheNextWeek.html>
- [14] «Cornell box». https://en.wikipedia.org/wiki/Cornell_box
- [15] Akeley K., Kirk D., Seiler L., Slusallek P., Grantham B. «When will ray-tracing replace rasterization?». DOI: 10.1145/1242073.1242120
- [16] Lafortune E. P., Willems Y. D. «Bi-directional path tracing». <http://graphics.cs.kuleuven.be/publications/BDPT/>
- [17] Hachisuka T., Ogaki S., Jensen H. W. «Progressive photon mapping». DOI: 10.1145/1457515.1409083
- [18] Akenine-Möller T., Aila T. «Conservative and Tiled Rasterization Using a Modified Triangle Set-Up». DOI: 10.1080/2151237X.2005.10129198
- [19] Georgiev I., Slusallek P. «Generic concepts for flexible and high performance ray tracing». DOI: 10.1109/RT.2008.4634631
- [20] Glassner A. S. «An Introduction to Ray Tracing».
- [21] Octane Renderer <https://home.otoy.com/render/octane-render/>
- [22] Mitsuba Renderer <https://www.mitsuba-renderer.org/>
- [23] Cycles Renderer <https://www.cycles-renderer.org/>
- [24] Blender Foundation <https://www.blender.org/foundation/>
- [25] Nvidia RTX <https://www.nvidia.com/en-us/design-visualization/technologies/rtx/>